

## تأثیر کبالت بر ویژگی‌های ساختاری، ریزساختاری و مغناطیسی نانوذرات فریت منیزیم-روی

نوع مقاله: علمی پژوهشی

معصومه قادری<sup>۱</sup>، حامد بحیرائی<sup>\*</sup>، خلیل‌الله قیصری<sup>۲</sup>

<sup>۱</sup> گروه فیزیک، دانشکده علوم پایه، دانشگاه ملایر

<sup>۲</sup> گروه مهندسی مواد، دانشکده مهندسی، دانشگاه شهید چمران اهواز

\* hamedbahiraei@gmail.com

### چکیده:

نانوساختارهای ترکیب فریتی  $Mg_{0.5-x}Co_xZn_{0.5}Fe_2O_4$  با مقادیر آلاش ۰/۱۵، ۰/۱۰، ۰/۰۵، ۰/۰۰ و با استفاده از روش سل-ژل خود اختراقی تهیه شدند. پودرهای تهیه شده به صورت حلقه پرس شدند و تحت عملیات حرارتی در دمای  $900^{\circ}C$  به مدت ۴ ساعت قرار گرفتند. ویژگی‌های ساختاری، ریزساختاری و مغناطیسی پودرهای تهیه شده توسط پراش پرتو X (XRD)، بیناب‌سنجی تبدیل فوریه فروسرخ (FT-IR)، میکروسکوپ الکترونی روبشی گسیل میدانی (FE-SEM)، طیف‌سنجی پراش انرژی پرتو ایکس (EDAX) و مغناطیس‌سنج نمونه مرتعش (VSM) مورد بررسی قرار گرفت. نفوذپذیری مغناطیسی حلقه‌های تف‌جوشی شده با استفاده از دستگاه LCR meter بررسی شد. الگوی پراش پرتو X نمونه‌ها نشان داد که همه‌ی پودرهای تهیه شده دارای ساختار بلوری اسپینلی هستند و هیچ‌گونه فاز ناخالصی در آن‌ها وجود ندارد. اندازه ریزبلورک‌ها با استفاده از رابطه‌ی شرر بین ۳۶-۶۷ nm به دست آمد. با استفاده از تصاویر میکروسکوپ الکترونی میانگین اندازه‌ی ذرات پودرها بین ۴۳-۹۶ nm به دست آمد. آنالیز مغناطواستاتیکی مشخص کرد که حضور یون‌های کبالت بر مغناطش اشباع (Ms) و میدان وادارنده (Hc) تأثیرگذار بوده است و مقادیر Ms با افزایش میزان آلاش ابتدا کاهش و سپس افزایش یافته‌اند. کم‌ترین میزان Ms مربوط به نمونه‌ی  $x=0/10$  برابر با  $16/5 \text{ emu/g}$  و بیشترین مقدار مربوط به  $x=0/15$  برابر با  $39/6 \text{ emu/g}$  است. محاسبه کج‌شدگی گشتاور مغناطیسی (زاویه یافت-کیتل) نمونه‌ها نشان داد که بیش‌ترین میزان کج‌شدگی اسپینی مربوط به نمونه با  $x=0/10$  می‌باشد. مقایسه میدان وادارنده نمونه‌ها نشان داد که به دلیل ناهمسانگردی بلوری کبالت، با افزایش میزان آلاش X مقدار Hc به صورت پیوسته افزایش می‌یابد. نتایج نفوذپذیری مغناطیسی حلقه‌های تف‌جوشی شده نشان داد که نمونه با  $x=0/15$  دارای بیش‌ترین نفوذپذیری است.

### اطلاعات مقاله:

دریافت: ۲۱ مهر ۱۳۹۹

پذیرش: ۲۲ فروردین ۱۴۰۰

صفحه ۴۸ تا صفحه ۶۱

در دسترس در نشانی:

[www.ijcse.ir](http://www.ijcse.ir)

زبان نشریه: فارسی

شاپا چاپی: ۲۳۵۲-۲۳۲۲

شاپا الکترونیکی:

۳۰۰۳-۲۷۸۳

### کلیدواژه:

نانوساختار، سل-ژل، فریت، مغناطش اشباع، وادارندگی، مدل یافت-کیتل.

20.1001.1.23222352.1400.10.0.6.9

کد DOR:

بیوتکنولوژی، مهندسی مواد و محیط‌زیست به خود اختصاص

داده‌اند که تولید قطعات مغناطیسی با کیفیت‌تر و بسیار

کوچک‌تر از جمله دستاوردهای آن‌ها است [۱-۲].

امروزه، نانوذرات مغناطیسی کاربردهای مهمی در زمینه‌های

### ۱- مقدمه



انرژی منفی این برهم کنش یک نظم پادفرمغناطیسی بین گشتاورهای مغناطیسی ایجاد می‌کند؛ به طوری که گشتاور مغناطیسی کل ( $\mu_B$ ) از برابند گشتاور مغناطیسی مکان‌های هشت‌وجهی ( $M_B$ ) و چهاروجهی ( $M_A$ ) به صورت زیر به دست می‌آید [۸]:

$$\mu_B (\mu_B) = M_B - M_A \quad (2)$$

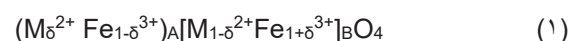
از آن‌جا که مدل ساده نیل در توجیه رفتار مغناطیسی برخی فریت‌ها ناتوان بود، مدل پیشرفته‌تر یافت و کیتل<sup>۵</sup> ارائه شد که به طور نظری پایداری حالت پایه‌ی نظم مغناطیسی در فریت‌ها را بررسی می‌کرد. در این مدل علاوه بر برهم بین زیر شبکه‌ای  $J_{AB}$  سهم انرژی دو برهمکنش ضعیف درون زیر شبکه‌ای  $J_{AA}$  و  $J_{BB}$  نیز در محاسبات در نظر گرفته می‌شود. میزان قدرت این برهم-کنش‌ها به صورت  $|J_{AA}| > |J_{BB}| > |J_{AB}|$  می‌باشد. نتایج محاسبات مدل یافت-کیتل نشان داد که به ازای مقدار خاصی از  $J_{BB}/J_{AB}$ ، پیکربندی مثلی غیرخطی گشتاورهای مغناطیسی، پایدارتر از ساختار خطی مدل نیل است. در این پیکربندی غیرخطی، گشتاور مغناطیسی جایگاه B نسبت به گشتاور جایگاه A به صورت مخالف دارای کج‌شدگی هستند و با زیاد شدن نسبت  $J_{BB}/J_{AB}$  این کج‌شدگی اسپینی<sup>۶</sup> بیشتر می‌شود [۹]. زاویه‌ی انحراف هر دو گشتاور جایگاه B از راستای گشتاور جایگاه A، زاویه‌ی یافت-کیتل  $(\alpha\gamma-K)$  نامیده می‌شود. شکل ۱ چگونگی جهت‌گیری گشتاورهای مغناطیسی را در مدل نیل و مدل یافت-کیتل نشان می‌دهد.

<sup>۴</sup> Tetrahedral

<sup>۵</sup> Yafet and Kittle

<sup>۶</sup> Spin canting

فریت‌های اسپینلی دسته‌ای از مواد فری مغناطیس هستند که با دارا بودن مقاومت الکتریکی بالا و اتلاف جریان گردابی<sup>۱</sup> پایین، گزینه‌ای ایده‌آل برای کاربردهای میکروویو می‌باشند [۳]. ساختار بلوری یک فریت اسپینلی با فرمول کلی  $M^{2+}O \cdot Fe_2^{3+}O_3^{2-}$ ، آرایه‌ای تنگ پکیده و مرکز وجهی از ۳۲ یون اکسیژن است که تعداد زیادی جایگاه‌های بین‌نشین چهاروجهی<sup>۲</sup> (A) و هشت‌وجهی<sup>۳</sup> [B] را ایجاد می‌کنند [۴-۶]. با توجه به جایگاه‌های بین‌نشین فرمول کلی یک فریت اسپینلی را می‌توان به صورت زیر بازنویسی کرد:



که در آن M کاتیون دو ظرفیتی، Fe کاتیون سه ظرفیتی آهن و  $\delta$  پارامتر معکوس می‌باشد. پارامتر معکوس به روش تهیه و نوع عناصر تشکیل دهنده‌ی فریت بستگی دارد. در اسپینل عادی  $\delta = 1$ ، در اسپینل معکوس  $\delta = 0$  و در اسپینل مخلوط  $\delta$  مقداری بین ۰ تا ۱ دارد. همچنین، نمادهای ( ) و [ ] به ترتیب جایگاه‌های چهاروجهی و هشت‌وجهی را مشخص می‌کنند.

مطابق با مدل نظم خطی نیل<sup>۴</sup>، گشتاورهای مغناطیسی اسپینلی جایگاه‌های (A) و [B] یک فریت با وجود راستای تقریباً یکسان در جهت مخالف یکدیگر منظم شده‌اند که عدم توازن در قدرت گشتاورهای مغناطیسی زیر شبکه‌های (A) و [B] سبب ایجاد خاصیت مغناطیسی می‌شود. مطابق با مدل نیل، ویژگی‌های مغناطیسی یک فریت وابسته به نوع و چگونگی توزیع یون‌ها در مکان‌های (A) و [B] و قدرت نسبی برهم‌کنش ابرتبادلی بین زیر شبکه‌ای (J<sub>AB</sub>) است [۷].

<sup>۱</sup> Eddy current

<sup>۲</sup> Neel's model

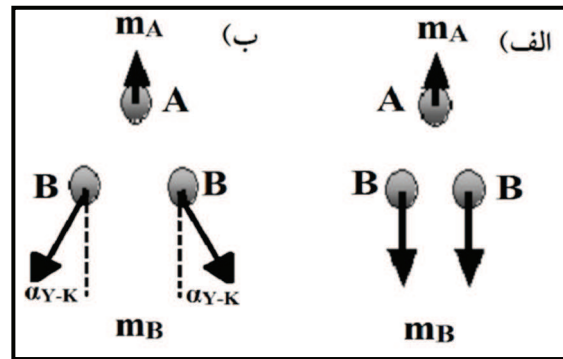
<sup>۳</sup> Octahedral



دلیل دارا بودن سه الکترون جفت نشده و جفت‌شدگی اسپین-مدار (L-S) قوی، می‌توانند قدرت برهمکنش تبادلی A-B و ناهمسانگردی مگنتوبلوری را افزایش دهند [۱۴]. از طرف دیگر فریت‌های آلایش یافته با کبالت تلفات دی‌الکتریک کمی دارند و برای کاربردهای با فرکانس بالا مناسب هستند؛ زیرا کبالت به دلیل وادارندگی زیاد، مغناطش اشباع بالا، سختی مکانیکی خوب و پایداری شیمیایی مناسب است [۱۵].

تارچوک و همکاران نشان دادند که افزایش میزان آلایش کبالت در ترکیب  $Zn_{1-x}Co_xFe_2O_4$  افزایش ناگهانی مغناطش پسماند و وادارندگی را در پی دارد. همچنین گاف انرژی با افزایش میزان کبالت کاهش می‌یابد [۱۶]. فاجر و همکاران نشان دادند که در فریت  $NiZn$  آلایش کبالت بیش تر از ۰/۰۲ مول، سبب کاهش دو برابری فاکتور اتلاف شده است [۱۴]. بررسی ترکیب فریت  $Zn_xNi_{1-x}Fe_2O_4$  نشان داد که آرایش کاتیون‌ها به صورت  $(Zn_xFe_{1-x})[Ni_{1-x}Fe_{1+x}]O_4$  می‌باشد. همچنین همه‌ی نمونه‌ها نظم مغناطیسی غیرخطی را نشان دادند که در آن‌ها زاویه‌ی بین گشتاورهای مغناطیسی جایگاه B (زاویه‌ی یافت کیتل) با افزایش  $Zn^{2+}$  می‌یابد [۱۷]. ژیاوی و همکاران در یک تحقیق نشان دادند که در ترکیب  $Ni_{0.7-x}Zn_{0.3}Co_xFe_2O_4$  آلایش کبالت به میزان  $x=0.15$  سبب افزایش مغناطش اشباع می‌شود [۱۵].

در این پژوهش، اثر آلایش یون مغناطیسی  $Co^{2+}$  و جایگزینی آن با یون غیرمغناطیسی  $Mg^{2+}$  در ترکیب فریت  $MgZn$  بررسی می‌شود. یون‌های  $Mg^{2+}$  و  $Zn^{2+}$  بدون گشتاور مغناطیسی هستند؛ این واقعیت بر برهمکنش غالب



شکل ۱- الف) جهت‌گیری اسپین‌ها در مدل نیل (حالت خطی) ب) جهت‌گیری اسپین‌ها در مدل یافت-کیتل (حالت غیر خطی).

با وجود این که آلیاژهای مغناطیسی بیش‌ترین ضریب نفوذپذیری مغناطیسی را دارند؛ اما به دلیل مقاومت الکتریکی پایین، استفاده از آن‌ها در میدان‌های الکترومغناطیسی با فرکانس‌های بالا امکان‌پذیر نیست. در چنین شرایطی، فریت‌ها تنها گزینه‌ی موجود در زمینه‌ی کاربردهای الکتروسرامیکی در فرکانس بالا می‌باشند. فریت  $MgZn$  با مقاومت الکتریکی بالا، تلفات دی‌الکتریک کم و اتلاف ناچیز جریان‌های گردابی ناشی از انتشار امواج الکترومغناطیسی فرکانس بالا به‌طور گسترده در دستگاه‌های میکروویو به کار می‌رود [۱۰]. همچنین استفاده از آن در زمینه‌های حسگرهای گازی، فوتوکاتالیستی و بیوپزشکی توجه زیادی را به خود جلب کرده است [۱۱-۱۳].

از آنجایی که فریت‌های روی ( $ZnFe_2O_4$ ) و منیزیم ( $MgFe_2O_4$ ) به ترتیب دارای ساختارهای اسپینلی عادی ( $\delta = 1$ ) و معکوس ( $\delta = 0$ ) هستند، هر دو ماده غیر مغناطیسی می‌باشند. تحقیقات متعدد اثبات کرده است که آلایش یون‌های فلزی می‌تواند خواص فریت‌ها را بهبود بخشد. در این میان استفاده از یون‌های کبالت ( $Co^{2+}$ ) به



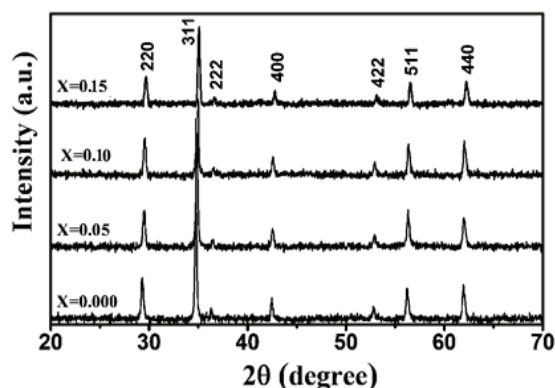
تهیه شده در دمای  $700^{\circ}\text{C}$  تکلیس شدند. به منظور برر سی رفتار مغناطودینامیکی، پودرها به کمک روش متالورژی پودر به صورت حلقه‌هایی با شعاع داخلی  $7\text{ mm}$  و شعاع خارجی  $14\text{ mm}$  پرس شدند و به مدت ۴ ساعت در دمای  $900^{\circ}\text{C}$  مورد تفجوشی قرار گرفتند. برای اندازه‌گیری نفوذپذیری مغناطیسی حلقه‌های تفجوشی شده ۲۰ دور سیم مسی نازک به دور حلقه‌ها پیچانده و دو سر سیم به دستگاه LCR meter متصل شد. در این حالت القابیدگی مغناطیسی حلقه‌های فریتی (L) توسط دستگاه اندازه‌گیری و ثبت می شدند. همچنین القابیدگی سیم‌پیچ بدون حلقه فریتی (L<sub>0</sub>) از رابطه  $L_0 = 4.6N^2h \log(b/a) * 10^{-9}$  محاسبه شد که در آن N تعداد دور سیم‌ها، h ضخامت، b قطر خارجی و a قطر داخلی سیم‌لوله است. در نهایت نفوذپذیری ( $\mu$ ) نمونه‌ها با استفاده از رابطه  $\mu = L/L_0$  به دست آمد.

مشخصه‌یابی‌های ساختاری بر روی پودرهای تولید شده به کمک دستگاه‌های پراش سنج پرتو ایکس (PHILIPS-PW1730) با طول موج لامپ پرتو X برابر با  $1/54.056$  آنگسترم در گستره زاویه‌ای  $2\theta = 20-70$  درجه و طیف سنجی مادون قرمز (Perkin Elmer-Spect FT-IR) (400 صورت گرفت. ویژگی‌های ریزساختاری نظیر مورفولوژی و اندازه ذرات به کمک میکروسکوپ الکترونی روبشی نشر میدان (TESCAN-MIRA III) FE-SEM مجهز به میکروآنالیز شیمیایی (EDAX) مورد بررسی قرار گرفت. رفتار مغناطواستاتیکی پودرهای تولیدی نیز به کمک دستگاه مغناطش‌سنج نمونه مرتعش (VSM) (شرکت مغناطیس دقیق) در دمای اتاق اندازه‌گیری شد. نفوذپذیری مغناطیسی حلقه‌های تفجوشی شده توسط دستگاه مقاومت-

JAB که نقش مهم‌تری در ساختار فریت بازی می‌کند تأثیر می‌گذارد و در نتیجه سیستم دارای انرژی ناهمسانگردی مغناطو بلوری کم‌تری خواهد بود. هنگامی که یک عنصر نظیر کبالت که دارای گشتاور مغناطیسی  $3\mu_B$  است به سیستم وارد می‌شود انتظار می‌رود قدرت برهمکنش JAB و در نتیجه ناهمسانگردی مغناطو بلوری سیستم را افزایش دهد. زیرا یون  $\text{Co}^{2+}$  درای سه الکترون جفت‌نشده و همچنین جفت‌شدگی اسپین-مدار قوی‌تر می‌باشد [۱۸]. نمونه‌ها با استفاده از روش سل-ژل احتراقی تهیه شدند که به دلیل دارا بودن مزیت‌هایی نظیر تولید نانوساختارها با توزیع یکسان، کوتاه‌بودن زمان انجام واکنش، داشتن بازده بالا و ارزان بودن، یکی از روش‌های مناسب برای تولید نانومواد مغناطیسی است.

## ۲- فعالیت‌های تجربی

برای تهیه نانوپودرهای  $\text{Mg}_{0.5-x}\text{Co}_x\text{Zn}_{0.5}\text{Fe}_2\text{O}_4$ ، ابتدا نسبت‌های استوکیومتری مناسب از نیترات‌های فلزی به کمک هم‌زن مغناطیسی درون مقدار کمی آب مقطر حل شدند. به محلول تهیه شده، سیتریک‌اسید به عنوان سوخت اضافه شد. نسبت مولی سیتریک‌اسید به نیترات‌های فلزی ۱:۱ انتخاب شد. محلول جدید به آرامی حرارت داده شد و به صورت هم‌زمان با افزودن آمونیاک به صورت قطره قطره pH آن برابر ۷ قرار داده شد. پس از تبخیر آب، محلول تهیه‌شده به ژل تبدیل شد. ژل غلیظ به دست‌آمده در دمای مشخصی شروع به سوختن کرد. این مرحله که با آزاد سازی مقدار زیادی گاز و گرما همراه بود، تا جایی ادامه یافت که تمام ژل به پودری بسیار متخلخل و نرم به رنگ قهوه‌ای تبدیل شد. پودرهای



شکل ۲- الگوی پراش پرتو X نمونه‌های تهیه شده با مقادیر مختلف آلایش کبالت.

متوسط اندازه‌ی ریزبلورک‌ها مطابق با رابطه (۱) محاسبه شد.

$$D = k\lambda / \beta \cos(\theta) \quad (1)$$

که  $k$  عددی ثابت (در حدود ۰/۸۹)،  $\beta$  پهنای نصف ارتفاع قله پراش،  $\lambda$  طول موج پرتو X تابیده شده و  $\theta$  زاویه پراش است.

ظرفیت و القا سنج (LCR meter)، موجود در گروه مواد دانشگاه شهید چمران اهواز مورد ارزیابی قرار گرفت.

### ۳- نتایج و بحث

شکل ۲ الگوی پراش پرتو X نمونه‌های فریت MgZn آلایش یافته با مقادیر متفاوت کبالت را نشان می‌دهد. در شکل دیده می‌شود که نانوپودرهای تهیه شده دارای خطوط پراش کاملاً مشخص با صفحات پراش (۲۲۰)، (۳۱۱)، (۲۲۲)، (۴۴۰)، (۴۲۲) و (۵۱۱) هستند که با الگوی کارت استاندارد (#JCPDS-۰۸-۰۳۳۴) مطابقت کامل دارند. هیچ قله پراش اضافی مبنی بر حضور فاز ناخالصی در آن‌ها دیده نمی‌شود. بر این اساس نمونه‌ها دارای ساختار بلوری مکعبی مرکز سطحی اسپینلی هستند.

جدول ۱- اندازه‌ی ریزبلورک‌ها ( $D$ )، متوسط اندازه ذرات ( $d$ )، ارتعاش کششی مکان ( $\nu_1$ ) A، ارتعاش کششی مکان ( $\nu_2$ ) B، مغناطش اشباع ( $M_s$ )، وزن مولکولی ( $M_w$ )، گشتاور مغناطیسی زیر شبکه ( $M_A$ )، گشتاور مغناطیسی زیر شبکه ( $M_B$ )، گشتاور مغناطیسی کل ( $n_B$ )، زاویه یافت-کیتل ( $\alpha_{Y-K}$ ) و وادارندگی ( $H_c$ ) نانوپودرهای تهیه شده.

X	۰/۰۰	۰/۰۵	۰/۱۰	۰/۱۵
D(nm)	۵۲	۳۹	۶۷	۳۶
d(nm)	۷۴	۴۷	۴۳	۹۶
$\nu_1$ (cm <sup>-1</sup> )	۵۵۵/۹	۵۵۴/۳	۵۵۵/۱	۵۵۶/۶
$\nu_2$ (cm <sup>-1</sup> )	۴۰۹/۸	۴۰۷/۲	۴۰۷/۰	۴۰۶/۱
$M_s$ (emu/g)	۲۴/۹	۱۹/۹	۱۶/۵	۳۹/۶
$M_w$ (g)	۲۲۰/۵۳	۲۲۱/۵۵	۲۲۳/۳۰	۲۲۴/۰۵
$M_A$ ( $\mu_B$ )	۲/۵۰	۲/۵۰	۲/۵۰	۲/۵۰
$M_B$ ( $\mu_B$ )	۷/۵۰	۷/۶۵	۷/۸۰	۷/۹۵
$n_B$ ( $\mu_B$ )	۰/۹۸۳	۰/۷۸۹	۰/۶۶	۱/۵۹
$\alpha_{Y-K}$ (°)	۶۲/۳۴	۶۴/۵۱	۶۶/۰۹	۵۸/۹۶
$H_c$ (Oe)	۲۵	۲۷	۳۲	۶۱



مقادیر  $U_2$  است. در جدول ۱ مقادیر  $U_1$  و  $U_2$  ثبت شده اند. دیده می‌شود که باند  $U_2$  کاهش کمی با مقدار  $x$  نشان می‌دهد که ناشی از اختلاف شعاع یونی  $Co^{2+}$  (۸۹ nm) و  $Mg^{2+}$  (۸۶ nm) می‌باشد. با توجه به شکل ۳ وجود دره‌های  $U_1$  و  $U_2$  نشان‌دهنده‌ی ساختار اسپینلی نمونه‌های تهیه شده است.

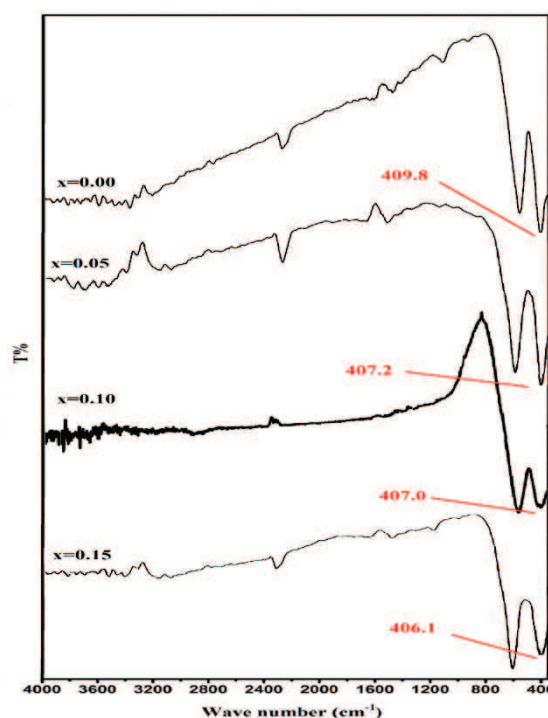
شکل ۴ تصاویر FE-SEM مربوط به نانو پودرهای  $Mg_{0.5-x}Co_xZn_{0.5}Fe_2O_4$  برای مقادیر متفاوت آرایش کبالت ۱۵ را نشان می‌دهد.

دیده می‌شود که مورفولوژی ذرات به‌دست آمده برای همه نمونه‌ها به جز نمونه‌ی با مقدار  $x=0/15$ ، تقریباً یک سان است. میانگین اندازه‌ی ذرات پودرها، با استفاده از نرم‌افزار Measurement بین ۴۳ تا ۹۶ نانومتر به‌دست آمد (جدول ۱). مقایسه اندازه‌ی ریزبلورک‌ها و اندازه‌ی ذرات به‌دست آمده نشان می‌دهد که در مجموع ذرات پودرهای به‌دست آمده تک‌بلور نیستند. همچنین ذرات مقداری به‌هم پیوستگی دارند که ممکن است ناشی از برهمکنش مغناطوستاتیکی آن‌ها باشد.

با توجه به میزان کم آرایش کبالت از نمونه‌ها آنالیز EDAX گرفته شد. نتایج شکل ۵ نشان می‌دهد که در نمونه‌ها اثری از مواد اولیه وجود ندارد. همچنین در شکل ۵ الف (نمونه بدون آرایش)، هیچ‌گونه ردی از عنصر کبالت دیده نمی‌شود. در سایر نمونه‌ها، میزان عنصر کبالت با افزایش آرایش بیش‌تر شده و در نمونه با  $x=0/15$  به بیش‌ترین مقدار خود می‌رسد.

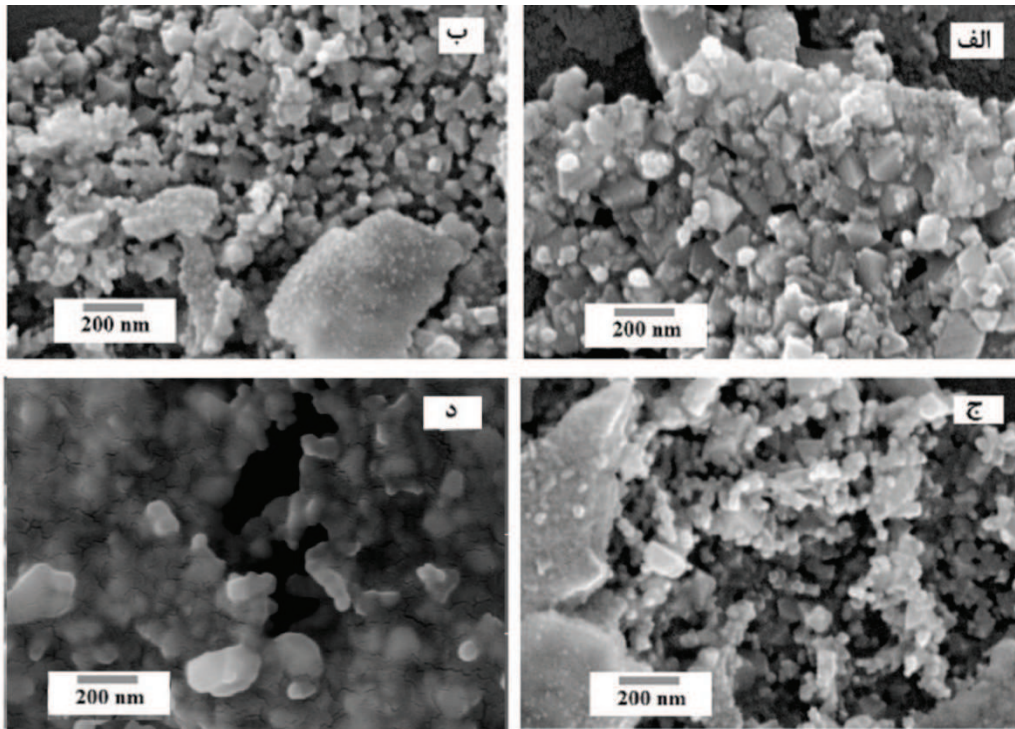
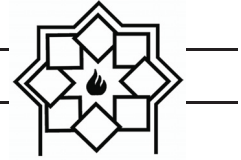
شکل ۶ منحنی پسماند مغناطیسی نمونه‌ها را نشان می‌دهد. از شکل مشخص است که همه‌ی نمونه‌ها دارای ماهیت مغناطیسی نرم هستند. مقادیر مغناطش اشباع ( $M_s$ ) در جدول ۱ ثبت شده است.

نتایج رابطه‌ی شرر، ثبت شده در جدول ۱ نشان داد که اندازه ریزبلورک نمونه‌ها بین ۳۶ تا ۶۷ نانومتر می‌باشد. شکل ۳ طیف‌سنجی مادون قرمز FT-IR نمونه‌های تهیه شده را در گستره‌ی  $400-4000\text{ cm}^{-1}$  نشان می‌دهد. به طور کلی طیف FT-IR فریت‌های اسپینلی دارای دو باند ارتعاش کششی اکسیژن- کاتیون فلزی است.

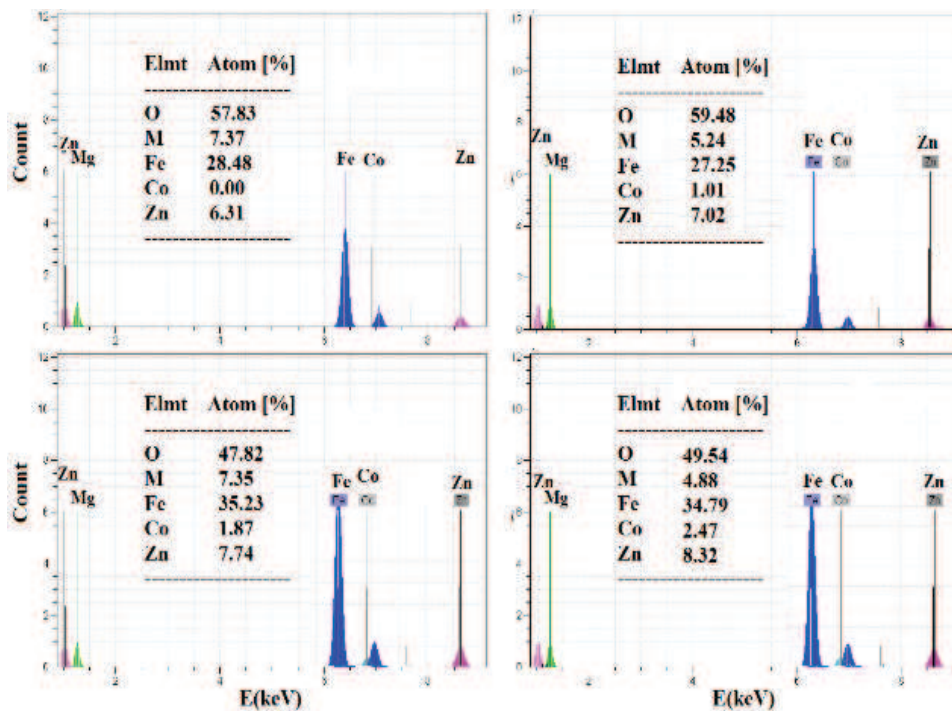


شکل ۳- طیف FT-IR برای نمونه‌های تهیه شده با مقادیر متفاوت آرایش کبالت  $x$

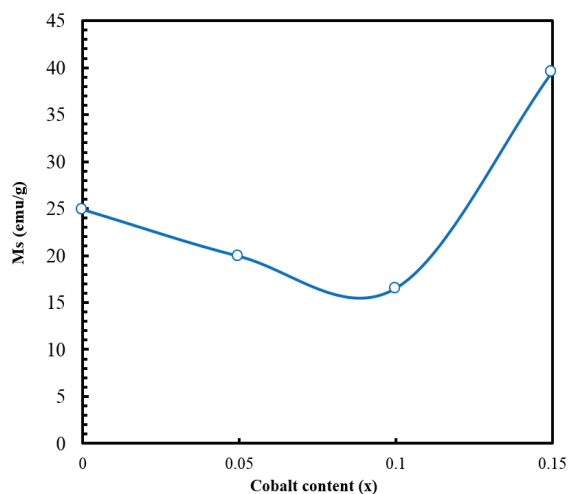
باند  $U_1$  که در حدود  $600\text{ cm}^{-1}$  رخ می‌دهد ارتعاش کششی پیوندی  $Fe^{3+} - O^{2-}$  در جایگاه‌های چهاروجهی A و باند  $U_2$  که در حدود  $400\text{ cm}^{-1}$  اتفاق می‌افتد ارتعاش کششی پیوندی  $Fe^{3+} - O^{2-}$  در جایگاه‌های هشت‌وجهی را نشان می‌دهد. همانطور که انتظار می‌رود، به دلیل طول پیوند کوتاه تر مکان‌های A نسبت به مکان‌های B مقادیر  $U_1$  بزرگ‌تر از



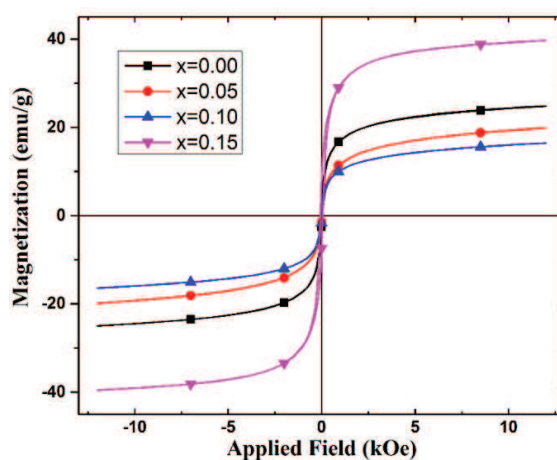
شکل ۴- تصاویر SEM-FE نمونه‌های آلیش‌یافته با مقادیر الف)  $x=0.00$  ب)  $x=0.05$  ج)  $x=0.10$  د)  $x=0.15$ .



شکل ۵- آنالیز EDAX نمونه‌ی آلیش‌یافته با مقدار الف)  $x=0.00$  ب)  $x=0.05$  ج)  $x=0.10$  د)  $x=0.15$ .



شکل ۷- نمودار مغناطش اشباع نمونه‌های تهیه شده بر حسب میزان آرایش x.



شکل ۶- منحنی مغناطش نمونه‌ی آرایش یافته با مقادیر (الف)  $x=0/00$  (ب)  $x=0/05$  (ج)  $x=0/10$  (د)  $x=0/15$ .

جدول ۲- توزیع کاتیونی پیشنهادی برای  $(Zn_{0.5}Fe_{0.5})[Mg_{0.5-x}Co_xFe_{1.5}]O_4$  ( $x=0/00, 0/05, 0/10, 0/15$ )

X	A site	B site
0.00	$Zn_{0.5}Fe_{0.5}$	$Mg_{0.5}Fe_{1.5}$
0.05	$Zn_{0.5}Fe_{0.5}$	$Mg_{0.45}Co_{0.05}Fe_{1.5}$
0.10	$Zn_{0.5}Fe_{0.5}$	$Mg_{0.40}Co_{0.10}Fe_{1.5}$
0.15	$Zn_{0.5}Fe_{0.5}$	$Mg_{0.35}Co_{0.15}Fe_{1.5}$

بر مبنای مدل یافت-کیتل، کج‌شدگی اسپینی مطابق با رابطه ۳ منجر به کاهش گشتاور مغناطیسی کل می‌گردد [۹ و ۲۱]:

$$n_B(\mu_B) = M_B \cos(\alpha_{Y-K}) - M_A \quad (3)$$

از طرف دیگر گشتاور مغناطیسی کل ( $n_B$ ) به ازای یک واحد ترکیب شیمیایی فریت برابر است با [۲۳]:

$$n_B(\mu_B) = M_W * M_S / 5585 \quad (4)$$

منحنی‌های پسماند نشان می‌دهد که مغناطش اشباع نمونه‌ها نسبت به میزان آرایش x رفتار خطی نشان نمی‌دهد. با افزایش مقدار آرایش x تا ۰/۱۰ مغناطش اشباع ( $M_s$ ) کاهش می‌یابد اما با افزایش x تا ۰/۱۵،  $M_s$  افزایش یافته و به مقدار ۳۹/۶ emu/g می‌رسد. تغییرات مغناطش نمونه‌ها بر حسب میزان آرایش در شکل ۷ رسم شده است.

در فریت  $Mg_{0.5-x}Co_xZn_{0.5}Fe_2O_4$  یون‌های بدون گشتاور مغناطیسی  $Mg^{2+}$  و  $Zn^{2+}$  ترجیح می‌دهند که به ترتیب در جایگاه‌های هشت‌وجهی و چهاروجهی قرار گیرند [۱۹-۲۱]. یون‌های  $Fe^{3+}$  می‌توانند هر دو جایگاه A و B قرار گیرند و یون‌های مغناطیسی  $Co^{2+}$  (با گشتاور مغناطیسی  $3\mu_B$ ) تمایل زیادی دارند که در جایگاه‌های هشت‌وجهی قرار گیرند [۷ و ۲۲]. بر اساس اولویت یون‌های فلزی برای جایگاه‌های بلوری محتمل‌ترین توزیع کاتیونی پیشنهادی به صورت زیر خواهد بود (جدول ۲).







مقادیر وادارندگی ( $H_c$ ) نمونه‌ها در جدول ۱ ثبت شده است. مقایسه آن‌ها نشان می‌دهد که  $H_c$  نمونه‌ها با افزایش میزان کبالت در ترکیب روندی صعودی دارد. نتایج پژوهش‌های متعدد نشان داده است که فریت کبالت به دلیل جفت‌شدگی قوی اسپین-مدار دارای ثابت ناهمسانگردی بلوری بالایی است [۲۴ و ۲۵]. از طرف دیگر مطابق با رابطه ۵ وادارندگی  $H_c$  نسبت مستقیمی با ثابت ناهمسانگردی دارد [۲۶]:

$$H_c = P_c K / M_s \quad (5)$$

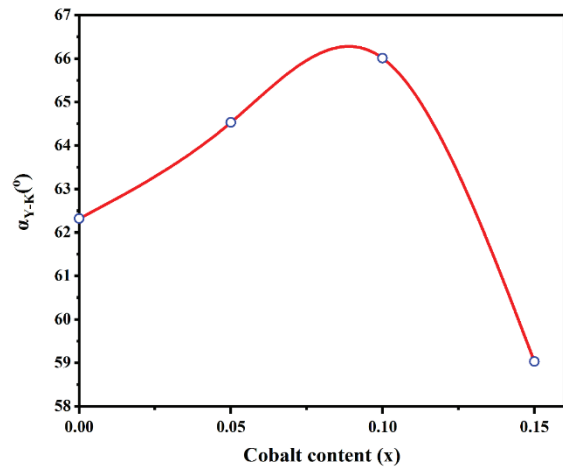
در رابطه‌ی بالا،  $K$  ثابت ناهمسانگردی،  $M_s$  مغناطش اشباع و  $P_c$  عددی ثابت در محدوده  $0.64-0.13$  است. افزایش میزان کبالت در ترکیب ثابت ناهمسانگردی افزایش و در نتیجه وادارندگی مغناطیسی با افزایش مواجه می‌شود.

شکل ۹ تصاویر SEM نمونه‌های تفجوشی شده را نشان می‌دهد. در تصویر "الف" (نمونه بدون آلیاژ) حفره‌های زیادی بین دانه‌ها وجود دارد و نمونه دارای تخلخل بالایی می‌باشد. تصاویر "ب" و "ج" نشان می‌دهند که دانه‌ها تا حدودی به هم چسبیده‌اند که همین امر سبب کاهش تعداد حفره‌ها شده است. در تصویر "د" دیده می‌شود که نمونه دارای مورفولوژی همگن‌تری است و در آن تعداد حفره‌ها کمتر شده است. با توجه به رشد کم دانه‌ها، وجود حفره‌ها و عدم وجود مرز دانه‌های مشخص در تصاویر SEM می‌تواند نتیجه گرفت که نمونه‌ها در مراحل آغازین فرآیند تفجوشی قرار دارند؛ که این امر می‌تواند ناشی از دمای پایین تفجوشی نمونه‌ها ( $900^\circ\text{C}$ ) باشد.

شکل ۱۰ تغییرات نفوذپذیری حلقه‌های تفجوشی شده را بر حسب بسامد میدان الکترومغناطیسی اعمالی در بازه‌ی ۱۰ MHz - ۱ kHz را نشان می‌دهد.

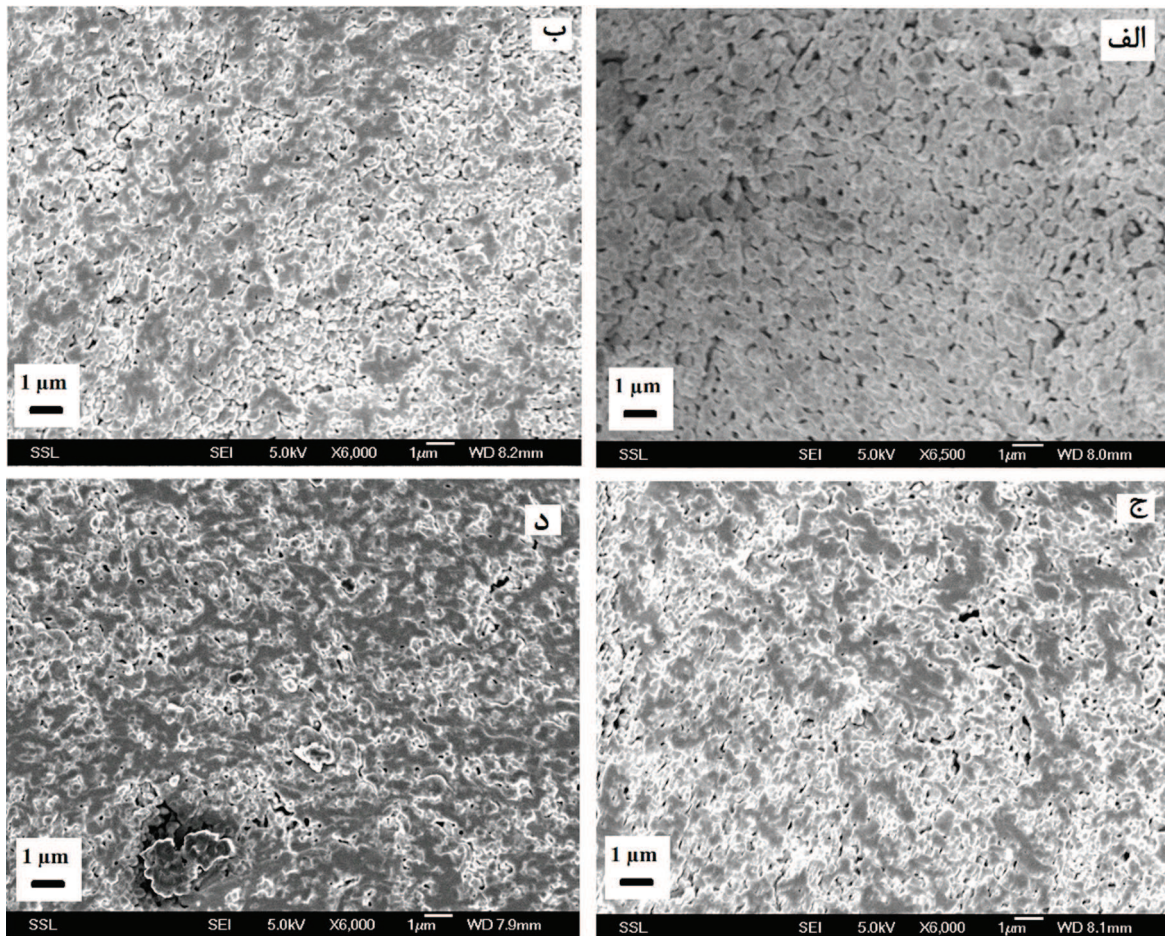
در روابط بالا،  $n_B$  تعداد گشتاورهای مغناطیسی فریت،  $M_A$  و  $M_B$  گشتاورهای زیر شبکه‌های (A) و (B)، زاویه  $\alpha_{Y-K}$  میزان کج‌شدگی اسپینی،  $M_s$  مغناطش اشباع و  $M_w$  وزن مولکولی یک واحد ترکیب است (جدول ۱).

مقادیر محاسبه شده  $n_B$  و  $\alpha_{Y-K}$  با جایگذاری مقادیر گشتاور مغناطیسی یون‌های  $Mg^{2+}(0 \mu_B)$ ،  $Zn^{2+}(0 \mu_B)$ ،  $Fe^{3+}(5 \mu_B)$  و  $Co^{2+}(3 \mu_B)$  در جدول ۱ ثبت شده است. همچنین نمودار تغییرات زاویه‌ی  $\alpha_{Y-K}$  در شکل ۸ ترسیم شده است.

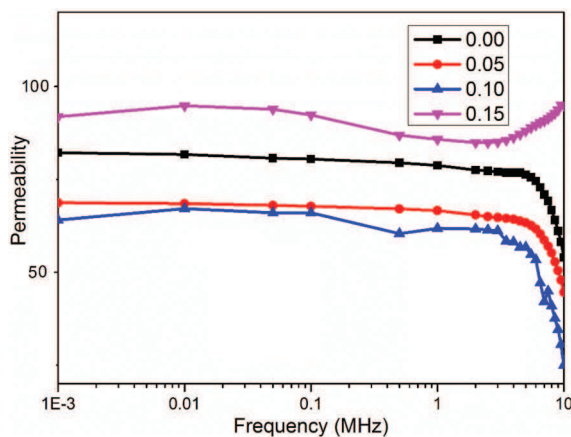


شکل ۸- نمودار زاویه یافت-کیتل نمونه‌های تهیه شده بر حسب آلیاژ  $x$ .

نتایج نشان می‌دهند که زاویه  $\alpha_{Y-K}$  با افزایش مقدار آلیاژ از  $x=0/00$  تا  $x=0/10$  از  $62/34$  تا  $66/09$  افزایش می‌یابد و پس از آن با افزایش میزان آلیاژ به  $x=0/15$  به  $58/96$  کاهش می‌یابد. این نشان می‌دهد که کم‌ترین مقدار زاویه‌ی  $\alpha_{Y-K}$  برابر با  $58/96^\circ$  و در عین حال بیش‌ترین مقدار مغناطش اشباع برابر با  $39/6 \text{ emu/g}$  مربوط به نمونه‌ی با  $x=0/15$  است.



شکل ۹- تصویر SEM نمونه‌های تف‌جوشی شده با مقادیر آلیاژ یافته (الف)  $x=0/00$  (ب)  $x=0/05$  (ج)  $x=0/10$  (د)  $x=0/15$ .



شکل ۱۰- تغییرات نفوذپذیری نمونه‌ها بر حسب فرکانس با مقادیر متغیر آلیاژ

با توجه به اینکه نفوذپذیری با مربع مغناطش اشباع رابطه

از شکل مشخص است که همه‌ی نمونه‌ها، تا بسامد در حدود ۴ MHz دارای نفوذپذیری مغناطیسی تقریباً ثابت و پایدار هستند.

در این محدوده نفوذپذیری مغناطیسی با افزایش مقدار کبالت ابتدا کاهش و سپس افزایش یافته است. بر مبنای مدل گلوبس (Globus) نفوذپذیری (اولیه) مغناطیسی در فریت‌ها از رابطه زیر تبعیت می‌کند [۲۶]:

$$\mu_1 \approx \frac{3M_s^2 D}{16\gamma_w} \quad (۶)$$

که در رابطه بالا، D اندازه متوسط دانه،  $M_s$  مغناطش اشباع و  $\gamma_w$  انرژی دیواره حوزه‌های مغناطیسی است.



مغناطوا ستاتیکی نانوپودرها مورد برر سی قرار گرفت. الگوی پراش پرتو X نشان داد که نمونه‌ها کاملاً خالص هستند و هیچ‌گونه فاز اضافی در آن‌ها وجود ندارد. تصاویر FE-SEM نشان دادند که میانگین اندازه‌ی ذرات در حدود ۴۳-۹۶ nm است. با توجه به منحنی مغناطش نمونه‌ها مشاهده شد که جانشینی منیزیم توسط کاتیون‌های کبالت سبب تغییر مغناطش اشباع و وادارندگی مغناطیسی می‌شوند. مغناطش اشباع در نمونه‌ی  $x=0/10$  به مقدار کمینه می‌رسد و پس از آن با افزایش مقدار کبالت به  $x=0/15$  افزایش می‌یابد. همچنین زاویه‌ی انحراف یافت — کیتل در نمونه‌ی  $x=0/15$  کم‌ترین مقدار است. برخلاف مغناطش اشباع، وادارندگی مغناطیسی با افزایش میزان کبالت در ترکیب به صورت پیوسته افزایش می‌یابد. همچنین نفوذپذیری نمونه‌های تفجوشی شده نشان داد که در زیر ۴ MHz نمونه‌ی با  $x=0/15$  دارای بیش‌ترین مقدار نفوذپذیری است.

### مراجع

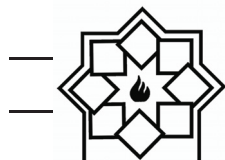
- [1] M. Faraji, Y. Yamini and M. Rezaee, "Magnetic Nanoparticles: Synthesis, Stabilization, Characterization, Functionalization and Applications", Journal of Iranian Chemistry Society, Vol. 7, No. 1, 2010, pp. 1-37.
- [2] R. Y. Hong, S. Z. Zhang, G. Q. Di, H. Z. Li, Y. Zheng, J. Ding, D. G. Wei, "Preparation, characterization and application of Fe<sub>3</sub>O<sub>4</sub>/ZnO core/shell magnetic nanoparticles", Materials Research Bulletin Vol 43, 2008, pp 2457-2468.
- [3] U. R. Ghodake, R. C. Kambale, S. S. Suryavanshi, Effect of Mn<sup>2+</sup> substitution on structural, electrical transport and dielectric properties of Mg-Zn ferrites, Ceramics International. Vol 43, 2017, pp 119-1134.

مستقیم دارد، تغییرات آن به شدت متأثر از تغییر در مغناطش اشباع است. با توجه به شکل‌های ۷ و ۱۰، روند مشابهی در تغییرات مغناطش اشباع با غلظت یون‌های کبالت مشاهده می‌شود.

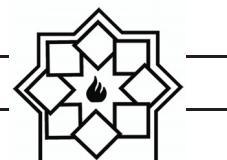
در بسامدهای بالاتر از ۴ MHz، برای همه نمونه‌ها نفوذپذیری مغناطیسی از حالت پایدار خود خارج شده است و به دلیل پدیده‌ی تشدید نفوذپذیری به سرعت کاهش می‌یابد. کاهش در نفوذپذیری مغناطیسی معرف فعال‌شدن سازوکارهای تلفات الکترومغناطیس است؛ زیرا با افزایش بسامد، برخی سازوکارهای مغناطش قادر به دنبال نمودن میدان اعمالی نیستند، به همین دلیل حالت تشدید یک کاهش ناگهانی در طیف نفوذپذیری مغناطیسی ایجاد می‌گردد که در بسامدهای پایین (در محدوده مگاهرتز) به سازوکارهای مغناطش مرتبط با تحرک دیواره‌ی حوزه‌های مغناطیسی مربوط می‌شود [۲۷]. معمولاً قبل از اینکه نفوذپذیری سریعاً کاهش یابد ابتدا به یک مقدار بیشینه می‌رسد و سپس روند کاهشی آن آغاز می‌شود. افزایش نفوذپذیری مغناطیسی در نمونه‌های آلاینده شده با  $x$  کم‌تر از  $x=0/15$  محسوس نیست، اما این امر در نمونه با  $x=0/15$  دیده می‌شود. این نشان می‌دهد که پدیده تشدید مغناطیسی و کاهش نفوذپذیری در این نمونه در بسامدهایی بیش از ۱۰ MHz به وقوع خواهد رسید که خارج از بازه‌ی بسامدی دستگاه مورد استفاده است.

### ۴- نتیجه‌گیری

در این پژوهش با استفاده از روش سل - ژل احتراقی، نانوپودرهای فریت MgZn آلاینش یافته با مقادیر مختلف کبالت تهیه شدند. ویژگی‌های ساختاری، ریزساختاری،



- Suryavanshi, Effect of  $Mn^{2+}$  substitution on structural, electrical transport and dielectric properties of Mg-Zn ferrites, *Ceramics International*, Vol 43, 2017, pp 119–1134.
- [11] X.F. Chu, X.Q. Liu, G.Y. Meng, "Photocatalytic properties and optical absorption of zinc ferrite nanometer films", *Sensor and Actuators B*, Vol. 55, 1999, pp. 19.
- [12] J. Qiu, C. Wang, M. Gu, "Photocatalytic properties and optical absorption of zinc ferrite nanometer films", *Materials Science and Engineering: B*, Vol. 112, 2004, pp. 1-4 .
- [13] J. Wan, X. Jiang, H. Li, K. Chen, "Facile Synthesis of Zinc Ferrite nanoparticles as non-lanthanide T1 MRI contrast agents", *Journal of Material Chemistry*, Vol. 22, 2012, pp. 13500-13505.
- [14] G.Frajer, O.Isnard, H.Chazal, G.Delette, Effect of cobalt addition on the magneto-crystalline anisotropy parameter of sintered NiZn ferrites evaluated from magnetization curves, *Journal of Magnetism and Magnetic Materials*, Vol 473, 2019, pp 92-98.
- [15] Xiao-Hui Wu, Zheng-Xiong Tao, Le-Zhong Li, Chong-Sheng Wu, Xiao-Xi Zhong, Rui Wang, Peng-Cheng Xiang, Ke-Lin Li, Nan Lin, Crystal structure and enhanced magneto-electric properties of cobalt-substituted nickel-zinc ferrite, *Journal of Materials Science: Materials in Electronics* vol 31, 2020, pp 20277–20284.
- [16] T.R.Tatarchuk, N.D.Paliychuk, M.Bououdin, B.Al-Najar, M.Pacia, W.Macyk, A.Shyichuk, "Effect of cobalt substitution on structural, elastic, magnetic and optical properties of zinc ferrite nanoparticles", *Journal of Alloys and Compounds* Vol 731, pp 1256-1266, 2018.
- [17] N. S. Satya Murthy, M. G. Natera, S. I. Youssef, R. J. Begum, C. M. Srivastava; "Yafet-Kittel Angles in Zinc-Nickel Ferrites"; *Physical Review Letters*, Vol [4] A. Lopez-Ortega, E. Lottini, C. de Julian Fernandez, C. Sangregorio, Exploring the magnetic properties of cobalt ferrite nanoparticles for the development of a rare earth free permanent magnet, *Chemistry of Materials*, Vol 27, 2015, pp 4048–4056.
- [5] A.L. Tiano, G.C. Papaefthymiou, C.S. Lewis, J. Han, C. Zhang, Q. Li, C. Shi, A.M.M. Abeykoon, S.J.L. Billinge, E. Stach, J. Thomas, K. Guerrero, P. Munacyo, R.B. Scorzelli, P. Burnham, A.J. Viescas, S.S. Wong, Correlating size and composition dependent effects with magnetic, mossbauer, and pair distribution function measurements in a family of catalytically active ferrite nanoparticles, *Chemistry of Materials* Vol 27, 2015), pp 72–3592.
- [6] K.K. Bharathi, G. Markandeyulu, C.V. Ramana, Structural, magnetic, electrical and magnetoelectric properties of Sm and Ho-substituted nickel ferrites, *The Journal of Physical Chemistry C*, Vol 115, 2011, pp 554–560.
- [7] Priya Jadoun, Jyoti Sharma, Sudhish Kumar, S.N. Dolia, Deepak Bhatnagar, V.K. Saxena Structural and magnetic behavior of nanocrystalline Cr doped Co-Mg ferrite, *Ceramics International*, Vol 44, 2018, pp 6747–6753.
- [8] Sonal Singhal, Sheenu Jauhar, Jagdish Singh, Kailash Chandra, Sandeep Bansal, Investigation of structural, magnetic, electrical and optical properties of chromium substituted cobalt ferrites ( $CoCr_xFe_{2-x}O_4$ ,  $0 \leq x \leq 1$ ) synthesized using sol gel auto combustion method *Journal of Molecular Structure*, Vol, 1012, 2012, pp 182–188.
- [9] D.S. Nikam, S.V. Jadhav, V.M. Khot, R.A. Bohara, C.K. Hong, S.S. Mali, S.H. Pawar, Cation distribution, structural, morphological and magnetic properties of  $Co_{1-x}Zn_xFe_2O_4$  ( $x=0-1$ ) nanoparticles, *RSC Advances*. Vol 5, 2015, pp 2338–2345.
- [10] U.R. Ghodake, R.C. Kambale, S.S.



- C. K. Ong, The effect of non-magnetic  $Al^{3+}$  ions on the structure and electromagnetic properties of MgCuZn ferrite, *Journal of Magnetism and magnetic materials*, Vol. 371, 2014, pp. 29-33.
- [25] L. Kumar, M. Kar, Effect of  $Ho^{3+}$  substitution on the cation distribution, crystal structure and magneto crystalline anisotropy of nanocrystalline cobalt ferrite, *Journal of Experimental Nanoscience*, Vol 9, 2014, pp. 362-366.
- [26] T.D. Shen, R.B. Schwarz, J.D. Thompson, "Soft magnetism in mechanically alloyed nanocrystalline materials", *Physical Review B*. Vol. 72, pp. 014431-014438, 2005.
- [27] R. Valenzuela, "Magnetic Ceramics", Cambridge University Press, Cambridge, 2005.
- 81, 1969, pp 969.
- [18] Muhammad Amir Rafiq, Muhammad Azhar Khan, M. Asghar, S. Z. Ilyasb Imran, Shakir, Muhammad Shahid, Muhammad Farooq Warsi, Influence of  $Co^{2+}$  on structural and electromagnetic properties of Mg-Zn nanocrystals synthesized via co-precipitation route *Ceramics International* Vol 41, 2015, pp 10501-10505.
- [19] G. Kumar, J. Shah, R.K. Kotnala, P. Dhiman, R. Rani, V.P. Singh, G. Garg, S.E. Shirsath, K.M. Batoo, M. Singh, Self-ignited synthesis of Mg-Gd-Mn nanoferrites and impact of cation distribution on the dielectric properties, *Ceramics International*, Vol 40 2014, pp 14509-14516.
- [20] M. M. Hessien, M.M. Rashad, K. El-Barawy, I.A. Ibrahim, Influence of manganese substitution and annealing temperature on the formation, microstructure and magnetic properties of Mn-Zn ferrites, *Journal of Magnetism and Magnetic Materials*, Vol 320, 2008, 1615-1621.
- [21] Rohit Sharma, Prashant Thakur, Manoj Kumar, P.B. Barman, Pankaj Sharma, Vineet Sharma, Enhancement in A-B super-exchange interaction with  $Mn^{2+}$  substitution in Mg-Zn ferrites as a heating source in hyperthermia applications, *Ceramics International*, Vol 43, 2017, Pp 13661-13669.
- [22] Erum Pervaiz, I.H. Gul, Enhancement of electrical properties due to  $Cr^{3+}$  substitution in Co-ferrite nanoparticles synthesized by two chemical techniques, *Journal of Magnetism and Magnetic Materials*, Vol 324, 2012, 3695-3703.
- [23] G. Kumar, R.K. Kotnala, J. Shah, V. Kumar, A. Kumar, P. Dhiman, M. Singh, Cation distribution: a key to ascertain the magnetic interactions in a cobalt substituted MgMn nanoferrite matrix, *Physical Chemistry Chemical Physics*, Vol 19, 2017, pp 16669-16680.
- [24] H. Bahiraei, M. Shoushtari, K. Gheisari,

## Effect of Cobalt on Structural, Microstructural and Magnetic Properties of Magnesium-Zinc Ferrite Nanoparticles

Masoumeh Ghaderi<sup>1</sup>, Hamed Bahiraei<sup>1\*</sup>, Khalil Gheisari<sup>2</sup>

<sup>1</sup> Department of Physics, Faculty of Science, Malayer University, Malayer, Iran

<sup>2</sup> Department of Materials Science and Engineering, Faculty of Engineering, Shahid Chamran University of Ahvaz, Ahvaz, Iran

\* hamedbahiraei@gmail.com

**Abstract:**  $Mg_{0.5-x}Co_xZnFe_2O_4$  ferrite nanostructures with various amounts of  $Co^{2+}$  substitution ( $x= 0, 0.05, 0.10, 0.15$ ) were prepared using a simple and inexpensive sol-gel method sol-gel route. Structural, microstructural and magnetic properties of the prepared powders were investigated by x-ray diffraction (XRD), Fourier transform infrared (FT-IR), field emission- scanning electron microscopy (FE-SEM), X-ray energy diffraction spectroscopy (EDAX) and vibrating sample magnetometer (VSM). The x-ray diffraction patterns showed that the prepared nanopowders have pure spinel structure without any other impurity phases. The average particle size of the powders was between 96-43 nm, using electron microscope images. Magneto-static analysis showed that the presence of cobalt ions has affected the saturation magnetization ( $M_s$ ) and the coercivity ( $H_c$ ). The  $M_s$  values decrease and then increase with increasing dopant ( $x$ ). The lowest and highest values of  $M_s$  are related to  $x= 0.10$  (16.5 emu/g) and 0.15 (39.6 emu/g), respectively. Based on this, the calculated Yafet-Kittel angle ( $Y-K\alpha$ ) showed that the highest spin canting belongs to the sample with  $x= 0.10$ . Also, the value of  $H_c$  increases with  $x$  due to the high crystalline anisotropy of cobalt.

**Keywords:** Nanostructure, Sol-gel, ferrite, Saturation magnetism, Coercivity, Yafet-Kittel Model.